



Abbildung 549: T22 WS 98 99 Lamina interna
Individuum: weiblich, 81 Jahre



Abbildung 550: T22 WS 98 99 Nahaufnahme
Lamina interna



Abbildung 551: T22 WS 98 99 Stärke der
Hyperostosis linkes Os frontale

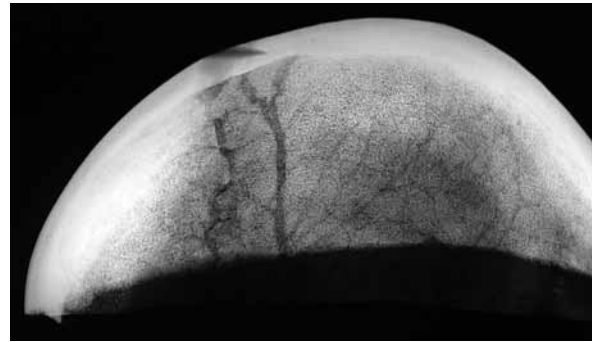
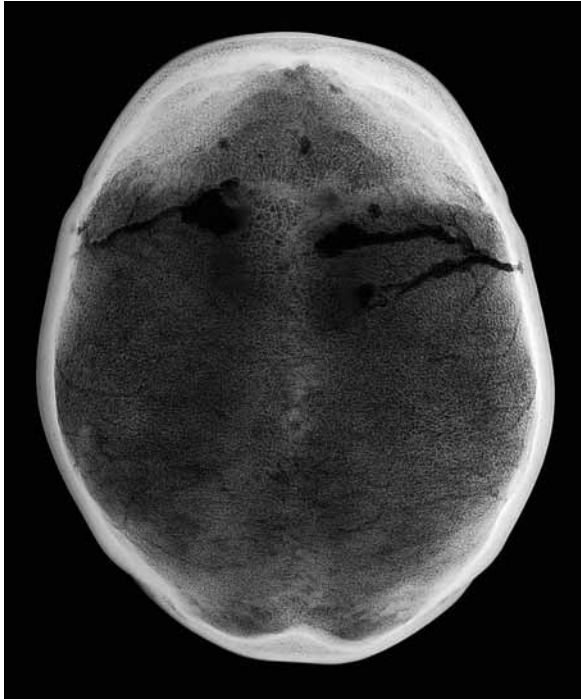


Abbildung 552: T22 WS 98 99 axial, 52 kV, 6½ min **Abbildung 553:** T22 WS 98 99 lateral, 52 kV, 7½ min



Abbildung 554: T22 WS 98 99 Knochendünnschliff-Übersichtsaufnahme, 70 µm, Os frontale links

Diploë: Ausdehnung einer normalräumigen überwiegend mit Fettmark verfüllten Diploë, welche die primäre Lamina interna in den verdickten Bereichen auflöst, entsprechend der Einteilung hinsichtlich des Wachstums der hyperostotischen Neubildungen in Gruppe 1 (siehe Ergebnisse Seite 28), außerdem in den verdickten Bereichen wulstige Vergrößerung der gesamten Diploë beziehungsweise der Lamina interna durch in den Wulstungen gelegene kleinräumige, mit Fettmark verfüllte Diploë, entsprechend der Einteilung hinsichtlich des Wachstums der hyperostotischen Neubildungen in Gruppe 2 (siehe Ergebnisse Seite 28)

Betrachtungen unter dem Mikroskop, Detailaufnahmen aus Abbildung 554:



Abbildung 555: T22 WS 98 99 Detailaufnahme bei 25-facher Vergrößerung im einfachen Durchlicht: Lamina externa

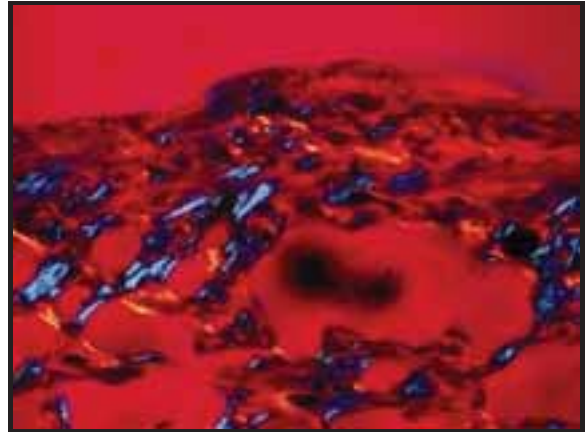


Abbildung 556: T22 WS 89 90 Detailaufnahme bei 25-facher Vergrößerung im polarisierten Durchlicht unter Verwendung eines Hilfsobjekts Rot 1. Ordng. (Quarz) als Kompensator: Lamina externa



Abbildung 557: T22 WS 98 99 Detailaufnahme bei 25-facher Vergrößerung im einfachen Durchlicht: Lamina interna

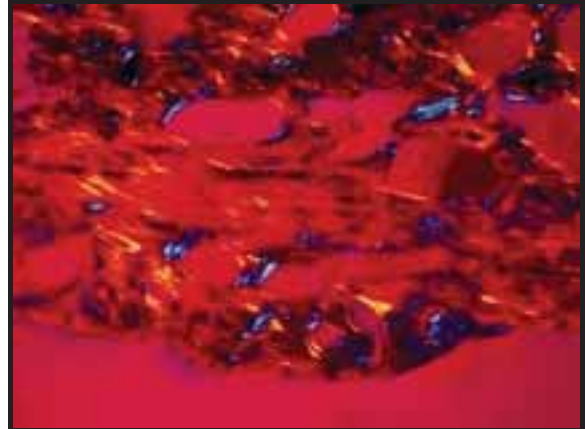


Abbildung 558: T22 WS 98 99 Detailaufnahme bei 25-facher Vergrößerung im polarisierten Durchlicht unter Verwendung eines Hilfsobjekts Rot 1. Ordng. (Quarz) als Kompensator: Lamina interna



Abbildung 559: T22 WS 98 99 Detailaufnahme bei 25-facher Vergrößerung im einfachen Durchlicht: Lamina interna und Diploë

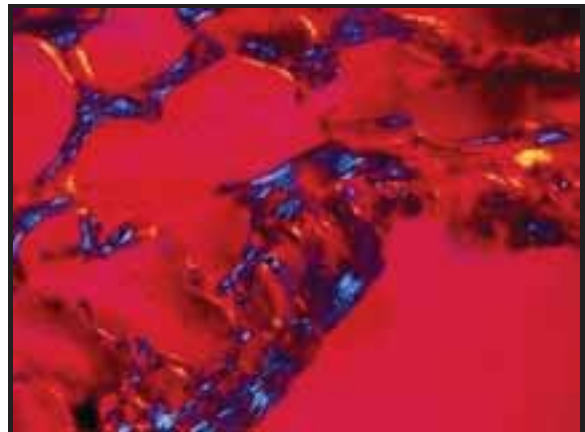


Abbildung 560: T22 WS 98 99 Detailaufnahme bei 25-facher Vergrößerung im polarisierten Durchlicht unter Verwendung eines Hilfsobjekts Rot 1. Ordng. (Quarz) als Kompensator: Lamina interna und Diploë



Abbildung 561: T24 WS 98 99 Lamina interna
Individuum: weiblich, 82 Jahre



Abbildung 562: T24 WS 98 99 Nahaufnahme
Lamina interna



Abbildung 563: T24 WS 98 99 Stärke der
Hyperostosis linkes Os frontale

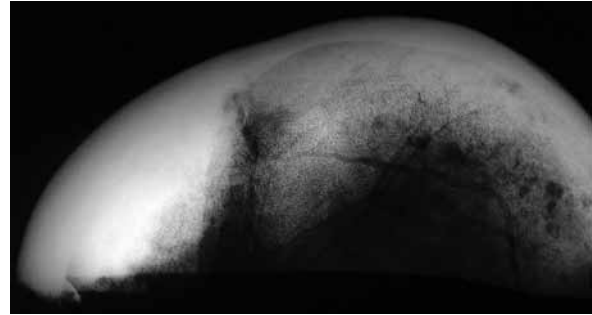
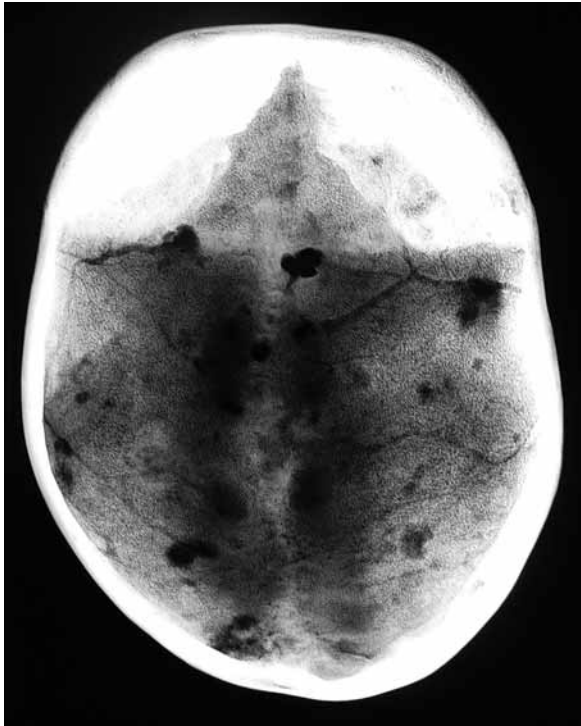


Abbildung 564: T24 WS 98 99 axial, 52 kV, 7 min

Abbildung 565: T24 WS 98 99 lateral, 52 kV, 8 min



Abbildung 566: T24 WS 98 99 Knochendünnschliff-Übersichtsaufnahme, 70 μm , Os frontale links

Diploë: wulstige Vergrößerung der gesamten Diploë beziehungsweise der Lamina interna durch in den Wulstungen gelegene kleinräumige, mit Blut- und Fettmark verfüllte Diploë sowie auf der primären Verdickung sekundär aufgelagerte wulstartige Strukturen (Riesenwülste), entsprechend der Einteilung hinsichtlich des Wachstums der hyperostotischen Neubildungen in Gruppe 2 und 4 (siehe Ergebnisse Seite 28), im Bereich der ehemaligen (primären) Lamina interna verdichtete Zone aus Lamellenknochen mit achatartigem Charakter, entsprechend der Einteilung hinsichtlich des Wachstums der hyperostotischen Neubildungen in Gruppe 3 (siehe Ergebnisse Seite 28)

Betrachtungen unter dem Mikroskop, Detailaufnahmen aus Abbildung 566:

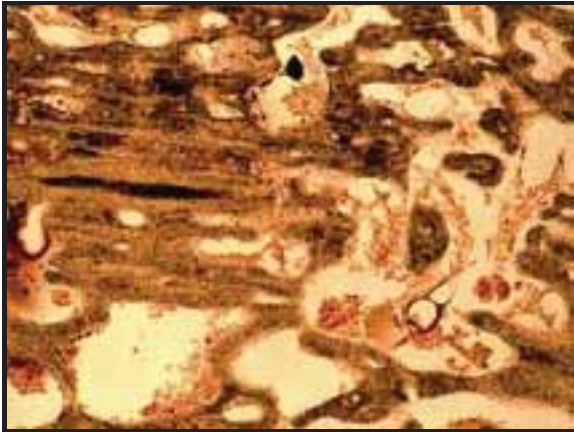


Abbildung 567: T24 WS 98 99 Detailaufnahme bei 25-facher Vergrößerung im einfachen Durchlicht Diploë

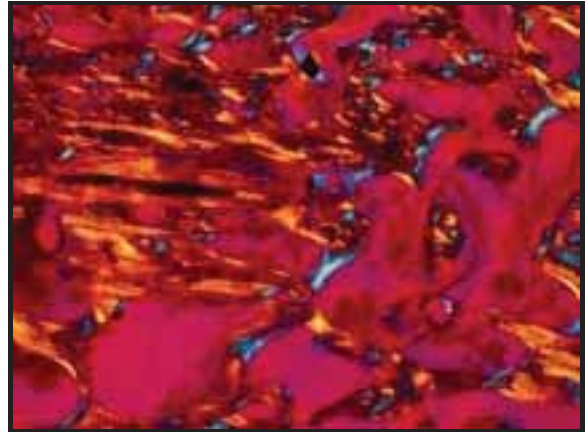


Abbildung 568: T24 WS 98 99 Detailaufnahme bei 25-facher Vergrößerung im polarisierten Durchlicht unter Verwendung eines Hilfsobjekts Rot 1. Ordng. (Quarz) als Kompensator: Diploë

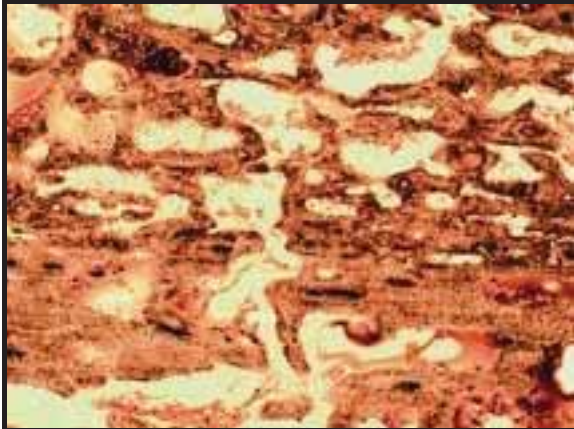


Abbildung 569: T24 WS 98 99 Detailaufnahme bei 25-facher Vergrößerung im einfachen Durchlicht Diploë

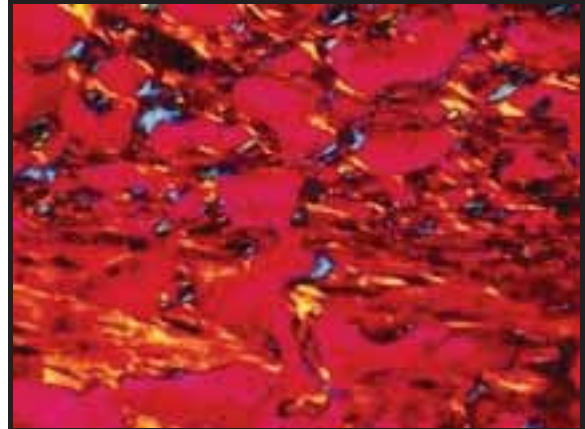


Abbildung 570: T24 WS 98 99 Detailaufnahme bei 25-facher Vergrößerung im polarisierten Durchlicht unter Verwendung eines Hilfsobjekts Rot 1. Ordng. (Quarz) als Kompensator: Diploë

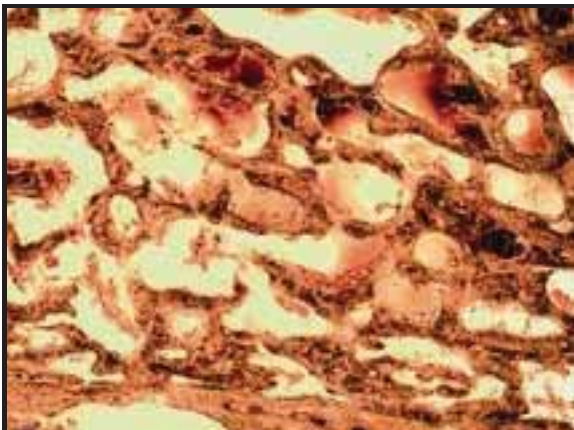


Abbildung 571: T24 WS 98 99 Detailaufnahme bei 25-facher Vergrößerung im einfachen Durchlicht Diploë

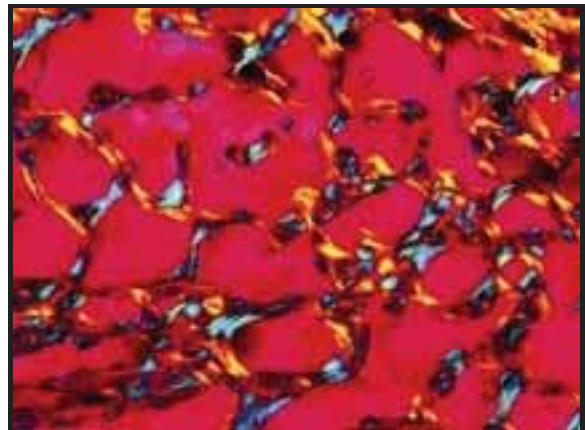


Abbildung 572: T24 WS 98 99 Detailaufnahme bei 25-facher Vergrößerung im polarisierten Durchlicht unter Verwendung eines Hilfsobjekts Rot 1. Ordng. (Quarz) als Kompensator: Diploë



Abbildung 573: T25 WS 98 99 Lamina interna,
Individuum: weiblich, 82 Jahre



Abbildung 574: T25 WS 98 99 Nahaufnahme
Lamina interna



Abbildung 575: T25 WS 98 99 Stärke der
Hyperostosis linkes Os frontale

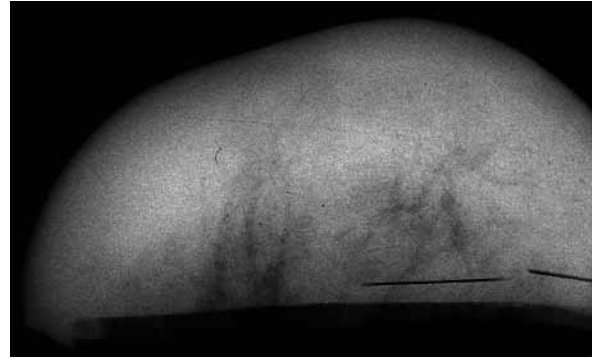
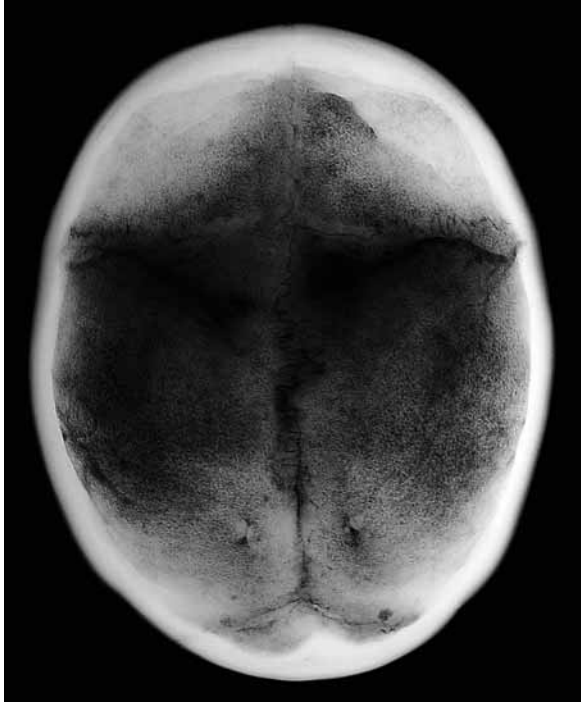


Abbildung 576: T25 WS 98 99 axial, 52 kV, 6½ min **Abbildung 577:** T25 WS 98 99 lateral, 52 kV, 7½ min



Abbildung 578: T25 WS 98 99 Knochendünnschliff-Übersichtsaufnahme, 70 µm, Os frontale rechts

Diploë: wulstige Vergrößerung der gesamten Diploë beziehungsweise der Lamina interna durch in den Wulstungen gelegene kleinräumige, mit Blut- und Fettmark verfüllte Diploë sowie auf der primären Verdickung sekundär aufgelagerte wulstartige Strukturen (Riesenwulst) entsprechend der Einteilung hinsichtlich des Wachstums der hyperostotischen Neubildungen in Gruppe 2 und 4 (siehe Ergebnisse Seite 28)

Betrachtungen unter dem Mikroskop, Detailaufnahmen aus Abbildung 578:

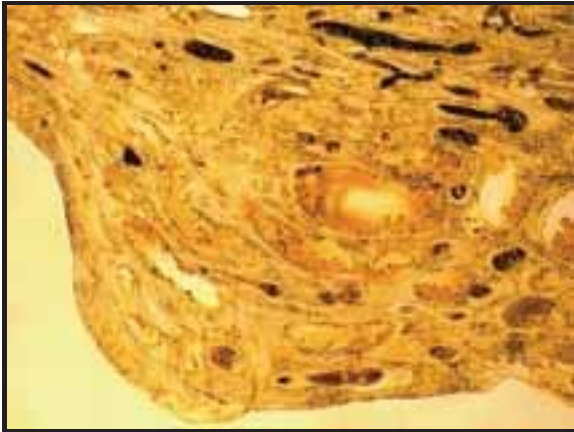


Abbildung 579: T25 WS 98 99 Detailaufnahme bei 25-facher Vergrößerung im einfachen Durchlicht: Lamina interna

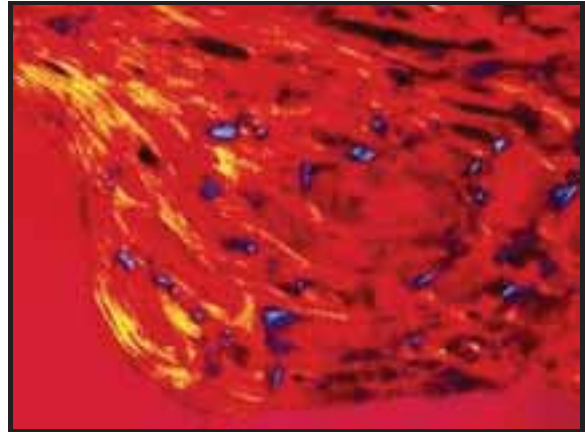


Abbildung 580: T25 WS 98 99 Detailaufnahme bei 25-facher Vergrößerung im polarisierten Durchlicht unter Verwendung eines Hilfsobjekts Rot 1. Ordng. (Quarz) als Kompensator: Lamina interna



Abbildung 581: T25 WS 98 99 Detailaufnahme bei 25-facher Vergrößerung im einfachen Durchlicht: Lamina interna

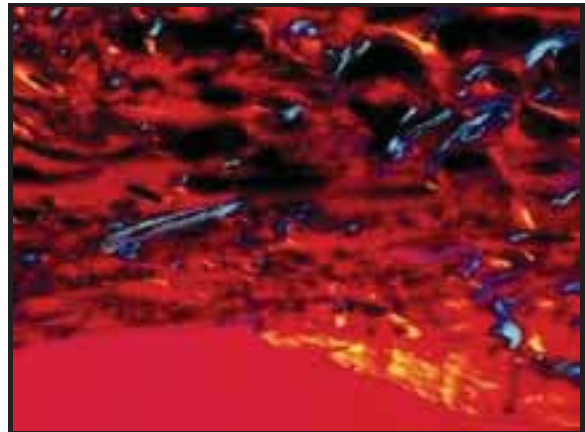


Abbildung 582: T25 WS 98 99 Detailaufnahme bei 25-facher Vergrößerung im polarisierten Durchlicht unter Verwendung eines Hilfsobjekts Rot 1. Ordng. (Quarz) als Kompensator: Lamina interna



Abbildung 583: T28 WS 98 99 Lamina interna
Individuum: weiblich, 81 Jahre



Abbildung 584: T28 WS 98 99 Nahaufnahme
Lamina interna



Abbildung 585: T28 WS 98 99 Stärke der
Hyperostosis linkes Os frontale



Abbildung 586: T38 WS 98 99 Lamina interna
Individuum: männlich, 81 Jahre



Abbildung 587: T38 WS 98 99 Nahaufnahme
Lamina interna



Abbildung 588: T38 WS 98 99 Stärke der
Hyperostosis linkes Os frontale



Abbildung 589: T2 WS 99 00 Lamina interna
Individuum: weiblich, 81 Jahre



Abbildung 590: T2 WS 99 00 Stärke der
Hyperostosis linkes Os frontale



Abbildung 591: T2 WS 99 00 axial, 52 kV, 6 min



Abbildung 592: T2 WS 99 00 lateral, 52 kV, 7 min

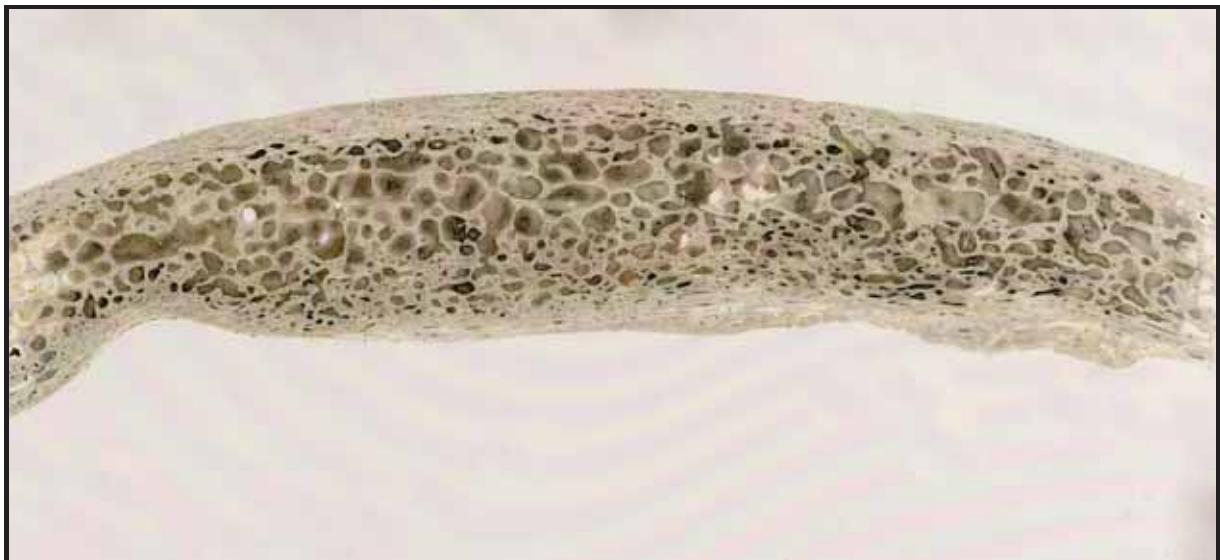


Abbildung 593: T2 WS 99 00 Knochendünnschliff-Übersichtsaufnahme, 70 μ m, Os frontale links

Diploë: normale bis kleinräumige mit Fettmark verfüllte Diploë, primäre Lamina interna ist wenig affektiert und erscheint verdickt, plattenartiges Wachstum, entsprechend der Einteilung hinsichtlich des Wachstums der hyperostotischen Neubildungen in Gruppe (siehe Ergebnisse Seite 28)

Betrachtungen unter dem Mikroskop, Detailaufnahmen aus Abbildung 593:



Abbildung 594: T2 WS 99 00 Detailaufnahme bei 25-facher Vergrößerung im einfachen Durchlicht: Lamina interna

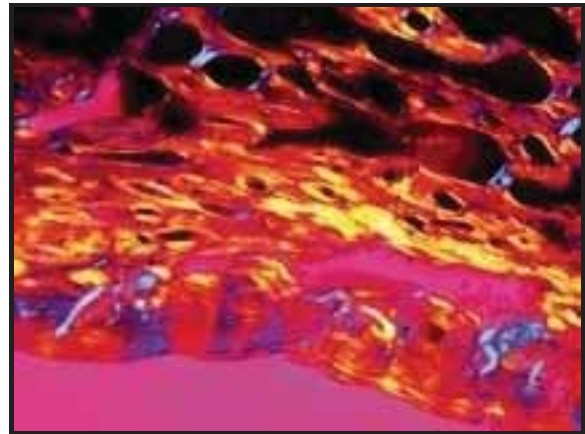


Abbildung 595: T2 WS 99 00 Detailaufnahme bei 25-facher Vergrößerung im polarisierten Durchlicht unter Verwendung eines Hilfsobjekts Rot 1. Ordng. (Quarz) als Kompensator: Lamina interna

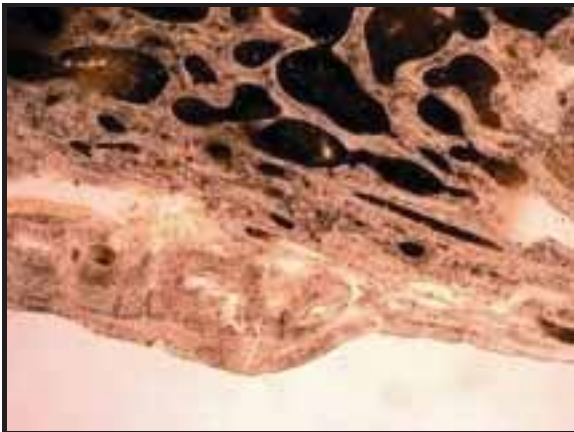


Abbildung 596: T2 WS 99 00 Detailaufnahme bei 25-facher Vergrößerung im einfachen Durchlicht: Lamina interna

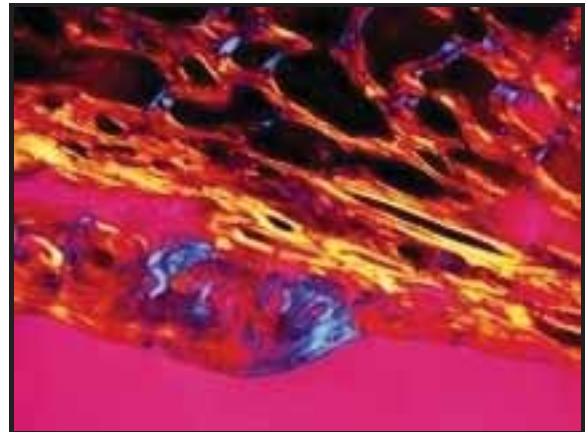


Abbildung 597: T2 WS 99 00 Detailaufnahme bei 25-facher Vergrößerung im polarisierten Durchlicht unter Verwendung eines Hilfsobjekts Rot 1. Ordng. (Quarz) als Kompensator: Lamina interna

Signatur: 1396	Datum: 17.05.2005
Alter: 82 Geschlecht: weiblich	Bemerkungen: T3 Pk 1999/00

Schädeldachmaße: Stärke: - frontal rechts: 15,3 mm links: 14,6 mm
- occipital rechts: 5,2 mm links: 4,5 mm
- Tuber frontale rechts: 12 mm links: 15 mm
- Tuber parietale rechts: 10 mm links: 10 mm

Größte Stärke: im Bereich der Hyperostosis: 16 mm

Kleinste Stärke: im Bereich der Hyperostosis: 5 mm

Differenz: 11 mm

- Abstand zwischen Tubera frontalia: 53 mm
- Abstand zwischen Tubera parietalia: 78 mm

Lamina externa:

- **Bathrocephalus**
- Foramina parietalia fehlen bds.
- Os frontale sin.: kreisförmige, höckerige, regelmäßige Neubildung, Intensität sehr schwach, Oberfläche glatt, Rand verstrichen, Konsistenz fest, Ø 6,2
→ **Osteom**

Lamina interna:

- Os frontale bds. der Crista frontalis: wulstartige, unregelmäßige Neubildungen, symmetrisch, Intensität: sehr stark, Oberfläche feinstreifig, Rand im Bereich der Crista frontalis unterschritten, sonst verstrichen, Konsistenz fest, Größe: gesamtes Os frontale
→ **HFI 3.7**
- R. ant. A. meningeae med. sinister: vergrößert, bäumchenartig verzweigt und in direkter Nachbarschaft zu Foveolae granulares
- R. ant. A. meningeae med. dext.: in direkter Nachbarschaft zu Foveolae granulares

Sinus sagittalis sup.:

- frontal und zentral verfüllt und verstrichen, zentral mit zahlreichen bäumchenartig verzweigten Gefäßimpressionen

Schädelnähte: (nach Broca, 1875)

Schädelnähte	innen		außen	
	rechts	links	rechts	links
<u>Sutura coronalis:</u>				
C1	4	4	4	4
C2	4	4	4	4
C3	4	4	4	4
<u>Sutura sagittalis:</u>				
S1	4		4	
S2	4		4	
S3	4		4	
S4	4		4	
<u>Sutura lambdoidea:</u>				
L1	4	4	4	4
L2	4	4	4	4
L3	4	4	4	4
<u>Sutura metopica:</u>				



Abbildung 598: T3 WS 99 00 Lamina interna
Individuum: weiblich, 82 Jahre



Abbildung 599: T3 WS 99 00 Nahaufnahme Lamina interna



Abbildung 600: T3 WS 99 00 Stärke der Hyperostosis linkes Os frontale



Abbildung 601: T6 WS 99 00 Lamina interna
Individuum: weiblich, 84 Jahre



Abbildung 602: T6 WS 99 00 Nahaufnahme Lamina interna



Abbildung 603: T6 WS 99 00 Stärke der
Hyperostosis linkes Os frontale



Abbildung 604: T7 WS 99 00 Lamina interna
Individuum: weiblich, 96 Jahre



Abbildung 605: T7 WS 99 00 Nahaufnahme Lamina interna



Abbildung 606: T7 WS 99 00 Stärke der
Hyperostosis linkes Os frontale

Signatur: 1404	Datum: 17.05.2005
Alter: 75 Geschlecht: männlich	Bemerkungen: T8 Pk 1999/00

Schädeldachmaße:

<u>Stärke:</u>	- frontal	rechts: 6,0 mm	links: 6,4 mm
	- occipital	rechts: 4,9 mm	links: 5,3 mm
	- Tuber frontale	rechts: 6 mm	links: 4 mm
	- Tuber parietale	rechts: 7 mm	links: 6 mm

Größte Stärke: im Bereiche der Hyperostosis: 7 mm

Kleinste Stärke: im Bereich der Hyperostosis: 5 mm

Differenz: 2 mm

- Abstand zwischen Tubera frontalia: 52 mm

- Abstand zwischen Tubera parietalia: 70 mm

Lamina externa:

- Foramina parietalia fehlen bds.
- Os frontale sin.: kreisförmige, höckrige, unregelmäßige Neubildung, Intensität schwach, Oberfläche feinhöckrig, Rand verstrichen, Konsistenz fest, Ø 11 mm
→ **Osteom**
- Os parietale dext.: 2 kreisförmige, höckrige, regelmäßige Neubildungen, Intensität schwach, Oberfläche glatt, Rand gerade, Konsistenz fest, 1) Ø 11 mm 2) Ø 4mm
→ **Osteome**
- Ossa parietalia: feinhöckrige Neubildungen, gruppenartig angeordnet, seitlich begrenzt durch die Linea temporalis
→ **Z. n. Kopfschwartenentzündung**

Lamina interna:

- Os frontale bds. der Crista frontalis: wulstartige, unregelmäßige Neubildungen, symmetrisch, Intensität: schwach, Oberfläche feinstreifig, Rand verstrichen, Konsistenz fest, Größe: 1/3 des Os frontale
→ **HFI 1.2**
- R. ant. A. meningeae med. dext.: in direkter Nachbarschaft zu Foveolae granulares
- zahlreiche Foveolae granulares

Sinus sagittalis sup.:

- frontal und zentral verfüllt und verstrichen, zentral mit zahlreichen bäumchenartig verzweigten Gefäßimpressionen
- zentral stippenartige längliche Auflagerungen, Intensität schwach, mohnkorngroß, gruppenartig angeordnet

Schädelnähte: (nach Broca, 1875)

Schädelnähte	innen		außen	
	rechts	links	rechts	links
<u>Sutura coronalis:</u>				
C1	4	4	4	4
C2	4	4	4	4
C3	4	4	4	4
<u>Sutura sagittalis:</u>				
S1	4		4	
S2	4		4	
S3	4		4	
S4	4		4	
<u>Sutura lambdoidea:</u>				
L1	4	4	4	4
L2	4	4	4	4
L3	4	4	4	4
<u>Sutura metopica:</u>				



Abbildung 607: T8 WS 99 00 Lamina interna
Individuum: männlich, 75 Jahre



Abbildung 608: T8 WS 99 00 Nahaufnahme Lamina interna



Abbildung 609: T8 WS 99 00 Stärke der Hyperostosis linkes Os frontale

Signatur: 1408	Datum: 18.05.2005
Alter: 67 Geschlecht: weiblich	Bemerkungen: T11 Pk 1999/00

Schädeldachmaße: Stärke: - frontal rechts: 7,7 mm links: 8,3 mm
 - occipital rechts: 5,2 mm links: 5,7 mm
 - Tuber frontale rechts: 6 mm links: 9 mm
 - Tuber parietale rechts: 6 mm links: 6 mm

Größte Stärke: im Bereiche der Hyperostosis: 10 mm

Kleinste Stärke: im Bereich der Hyperostosis: 4 mm

Differenz: 6 mm

- Abstand zwischen Tubera frontalia: 57 mm
- Abstand zwischen Tubera parietalia: 82 mm

Lamina externa: - Foramina parietalia fehlen bds.

Lamina interna: - Os frontale bds. des Sinus sagittalis superior: wulstartige, unregelmäßige Neubildungen, symmetrisch, Intensität: mittel, Oberfläche feinstreifig, Rand im Bereich des Sinus sagittalis gerade, sonst verstrichen, Konsistenz fest, Größe 2/3 des Os frontale
 → **HFI 2.4**
 - R. ant. A. meningeae med.: stark verzweigt, z. T. übermauert

Sinus sagittalis sup.: - frontal und zentral verfüllt und verstrichen, zentral mit zahlreichen bäumchenartig verzweigten Gefäßimpressionen

Schädelnähte: (nach Broca, 1875)

Schädelnähte	innen		außen	
	rechts	links	rechts	links
<u>Sutura coronalis:</u>				
C1	4	4	4	4
C2	4	4	4	4
C3	4	4	4	4
<u>Sutura sagittalis:</u>				
S1	4		4	
S2	4		4	
S3	4		4	
S4	4		4	
<u>Sutura lambdoidea:</u>				
L1	4	4	4	4
L2	4	4	4	4
L3	4	4	4	4
<u>Sutura metopica:</u>				



Abbildung 610: T11 WS 99 00 Lamina interna
Individuum weiblich, 67 Jahre



Abbildung 611: T11 WS 99 00 Nahaufnahme
Lamina interna

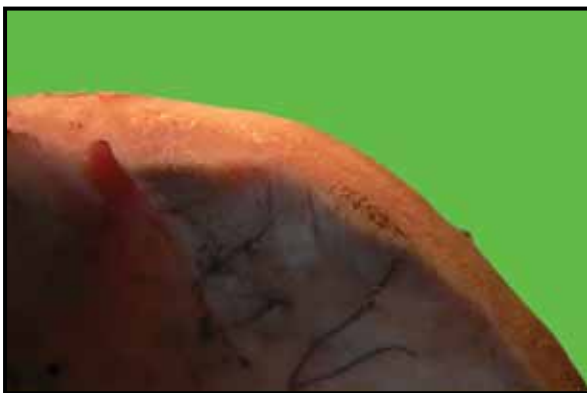


Abbildung 612: T11 WS 99 00 Stärke der
Hyperostosis linkes Os frontale



Abbildung 613: T12 WS 99 00 Lamina interna
Individuum: weiblich, 82 Jahre



Abbildung 614: T12 WS 99 00 Nahaufnahme
Lamina interna



Abbildung 615: T12 WS 99 00 Stärke der
Hyperostosis linkes Os frontale



Abbildung 616: T16 WS 99 00 Lamina interna
Individuum: weiblich, 84 Jahre



Abbildung 617: T16 WS 99 00 Nahaufnahme
Lamina interna



Abbildung 618: T16 WS 99 00 Stärke der
Hyperostosis linkes Os frontale



Abbildung 619: T20 WS 99 00 Lamina interna
Individuum: männlich, 61 Jahre



Abbildung 620: T20 WS 99 00 Nahaufnahme
Lamina interna

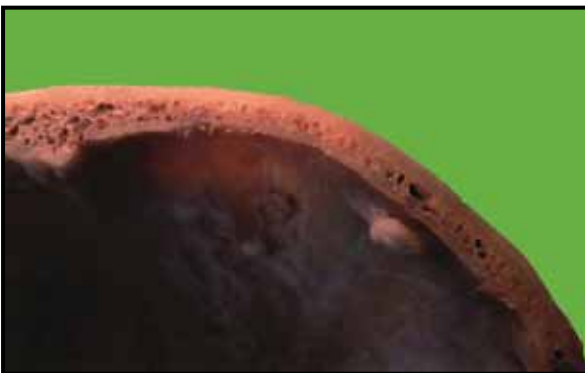


Abbildung 621: T20 WS 99 00 Stärke der
Hyperostosis linkes Os frontale



Abbildung 622: T22 WS 99 00 Lamina interna
Individuum: männlich, 61 Jahre



Abbildung 623: T22 WS 99 00 Nahaufnahme
Lamina interna



Abbildung 624: T22 WS 99 00 Stärke der
Hyperostosis linkes Os frontale



Abbildung 625: T24 WS 99 00 Lamina interna
Individuum: weiblich, 75 Jahre



Abbildung 626: T24 WS 99 00 Nahaufnahme der
Lamina interna



Abbildung 627: T24 WS 99 00 Stärke der
Hyperostosis linkes Os frontale



Abbildung 628: T25 WS 99 00 Lamina interna
Individuum: weiblich, 87 Jahre



Abbildung 629: T25 WS 99 00 Nahaufnahme
Lamina interna



Abbildung 630: T25 WS 99 00 Stärke der
Hyperostosis linkes Os frontale



Abbildung 631: T27 WS 99 00 Lamina interna
Individuum: männlich, 84 Jahre



Abbildung 632: T27 WS 99 00 Nahaufnahme
Lamina interna



Abbildung 633: T27 WS 99 00 Stärke der
Hyperostosis linkes Os frontale



Abbildung 634: T28 WS 99 00 Lamina interna
Individuum: weiblich, 93 Jahre



Abbildung 635: T28 WS 99 00 Nahaufnahme
Lamina interna



Abbildung 636: T28 WS 99 00 Stärke der
Hyperostosis linkes Os frontale



Abbildung 637: T29 WS 99 00 Lamina interna
Individuum: weiblich, 85 Jahre



Abbildung 638: T29 WS 99 00 Nahaufnahme
Lamina interna



Abbildung 639: T29 WS 99 00 Stärke der
Hyperostosis linkes Os frontale



Abbildung 640: T32 WS 99 00 Lamina interna
Individuum: weiblich, 94 Jahre



Abbildung 641: T32 WS 99 00 Nahaufnahme
Lamina interna



Abbildung 642: T32 WS 99 00 Stärke der
Hyperostosis linkes Os frontale



Abbildung 643: T34 WS 99 00 Lamina interna
Individuum: männlich, 68 Jahre



Abbildung 644: T34 WS 99 00 Nahaufnahme
Lamina interna



Abbildung 645: T34 WS 99 00 Stärke der
Hyperostosis linkes Os frontale



Abbildung 646: T36 WS 99 00 Lamina interna
Individuum: weiblich, 83 Jahre



Abbildung 647: T36 WS 99 00 Nahaufnahme
Lamina interna



Abbildung 648: T36 WS 99 00 Stärke der
Hyperostosis linkes Os frontale

Signatur: 1447	Datum: 12.10.2005
Alter: 77 Geschlecht: männlich	Bemerkungen: T1 Pk WS 2000/01

Schädeldachmaße: Stärke: - frontal rechts: 5,7 mm links: 4,1 mm
- occipital rechts: 5,1 mm links: 5,8 mm
- Tuber frontale rechts: 5 mm links: 4 mm
- Tuber parietale rechts: 8 mm links: 8 mm

Größte Stärke im Bereich der Hyperostosis: 8 mm
Kleinste Stärke im Bereich der Hyperostosis: 5 mm
Differenz: 3 mm

- Abstand zwischen Tubera frontalia: 53 mm
- Abstand zwischen Tubera parietalia: 87 mm

Lamina externa: - Foramen parietale dextrum im Abstand von 7 mm zur Sutura sagittalis
- Foramen parietale sinistrum im Abstand von 6 mm zur Sutura sagittalis

Lamina interna: - Os frontale bds. des Sinus sagittalis superior: flächige bis wulstartige, unregelmäßige Neubildungen, komplex, leicht asymmetrisch (links stärker als rechts), Intensität: schwach bis mittel, Oberfläche feinstreifig, Rand im Bereich der Crista frontalis unterschritten, sonst verstrichen, Konsistenz fest, Größe: 2/3 des Os frontale
→ **HFI 2.3**
- R. ant. A. meningeae med. bds.: stark verzweigt

Sinus sagittalis sup.: - im gesamten Bereich verfüllt und verstrichen, zentral mit zahlreichen bäumchenartig verzweigten Gefäßimpressionen

Schädelnähte: (nach Broca, 1875)

Schädelnähte	innen		außen	
	rechts	links	rechts	links
<u>Sutura coronalis:</u>				
C1	4	4	4	4
C2	4	4	4	4
C3	4	4	4	4
<u>Sutura sagittalis:</u>				
S1	4		4	
S2	4		4	
S3	4		4	
S4	4		4	
<u>Sutura lambdoidea:</u>				
L1	4	4	4	4
L2	4	4	4	4
L3	4	4	4	4
<u>Sutura metopica:</u>				



Abbildung 649: T1 WS 00 01 Lamina interna
Individuum: männlich, 77 Jahre

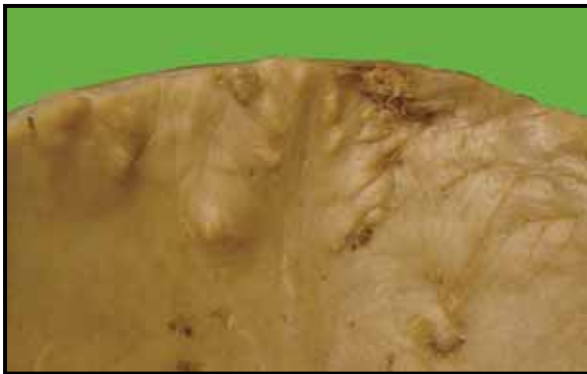


Abbildung 650: T1 WS 00 01 Nahaufnahme Lamina interna



Abbildung 651: T1 WS 00 01 Stärke der
Hyperostosis linkes Os frontale

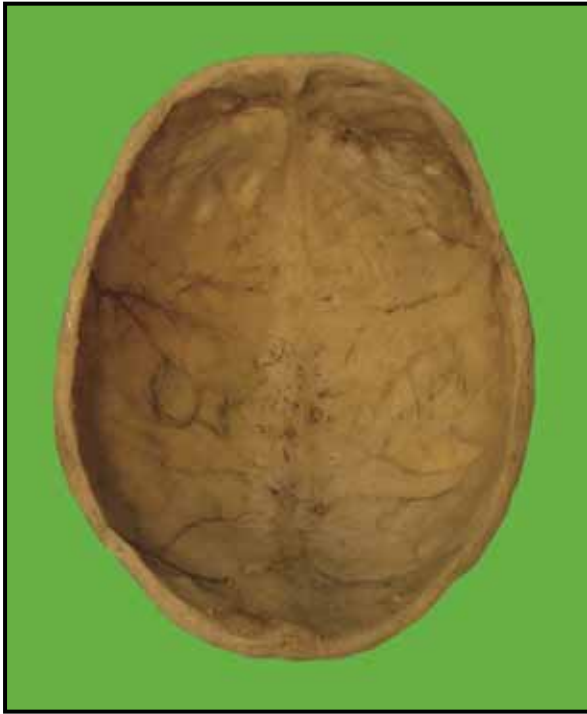


Abbildung 652: T1 WS 00 01 Lamina interna
Individuum: weiblich, 96 Jahre



Abbildung 653: T3 WS 00 01 Nahaufnahme Lamina interna



Abbildung 654: T3 WS 00 01 Stärke der
Hyperostosis linkes Os frontale



Abbildung 655: T6 WS 00 01 Lamina interna
Individuum: weiblich, 85 Jahre



Abbildung 656: T6 WS 00 01 Nahaufnahme Lamina interna



Abbildung 657: T6 WS 00 01 Stärke der
Hyperostosis linkes Os frontale



Abbildung 658: T7 WS 00 01 Lamina interna
Individuum: weiblich, 78 Jahre



Abbildung 659: T7 WS 00 01 Nahaufnahme Lamina interna



Abbildung 660: T7 WS 00 01 Stärke der
Hyperostosis linkes Os frontale



Abbildung 661: T15 WS 00 01 Lamina interna
Individuum: weiblich, 77 Jahre



Abbildung 662: T15 WS 00 01 Nahaufnahme
Lamina interna



Abbildung 663: T15 WS 00 01 Stärke der
Hyperostosis linkes Os frontale



Abbildung 664: T20 WS 00 01 Lamina interna
Individuum: weiblich, 90 Jahre



Abbildung 665: T20 WS 00 01 Nahaufnahme
Lamina interna



Abbildung 666: T20 WS 00 01 Stärke der
Hyperostosis linkes Os frontale



Abbildung 667: T29 WS 00 01 Lamina interna
Individuum: weiblich, 96 Jahre



Abbildung 668: T29 WS 00 01 Nahaufnahme
Lamina interna



Abbildung 669: T20 WS 00 01 Stärke der
Hyperostosis linkes Os frontale

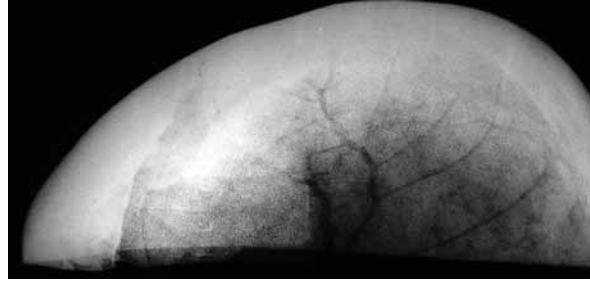


Abbildung 670: T29 WS 00 01 axial, 52 kV, 6½ min **Abbildung 671:** T29 WS 00 01 lateral, 52 kV, 7½ min

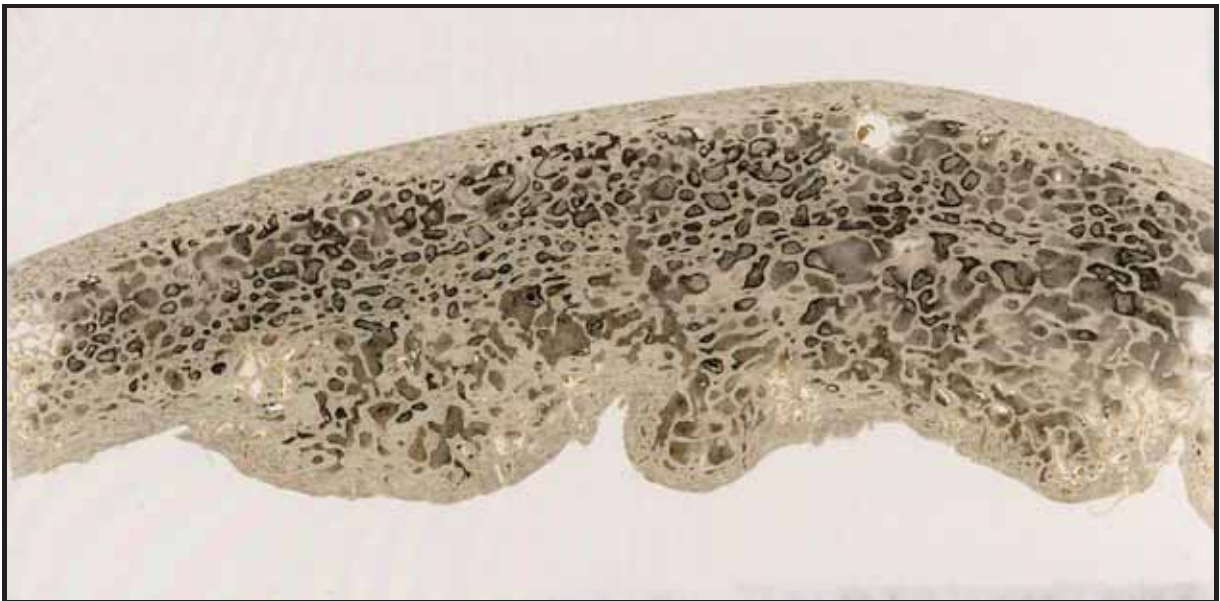


Abbildung 672: T29 WS 00 01 Knochendünnschliff-Übersichtsaufnahme, 70 µm, Os frontale links

Diploë: wulstige Vergrößerung der gesamten Diploë beziehungsweise der von Gefäßkanälen durchsetzten Lamina interna durch in den Wulstungen gelegene kleinräumige, mit Blut- und Fettmark verfüllte Diploë sowie auf der primären Verdickung sekundär aufgelagerte wulstartige Strukturen (Riesenwülste) entsprechend der Einteilung hinsichtlich des Wachstums der hyperostotischen Neubildungen in Gruppe 2 und 4 (siehe Ergebnis Seite 28), zusätzlich im Bereich der neuen (sekundären) Lamina interna verdichtete Zone aus Lamellenknochen, entsprechend der Einteilung hinsichtlich des Wachstums der hyperostotischen Neubildungen in Gruppe 3 (siehe Ergebnisse Seite 28)

Betrachtungen unter dem Mikroskop, Detailaufnahmen aus Abbildung 672:

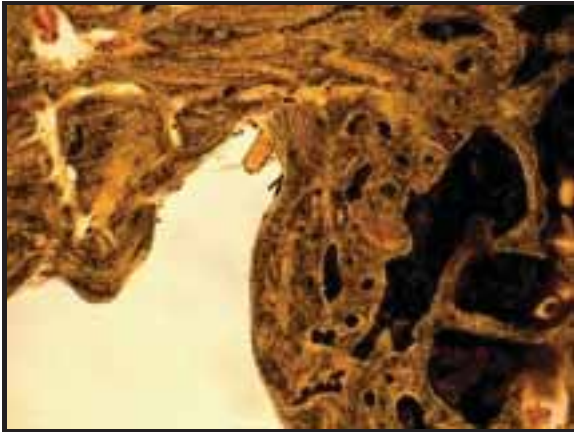


Abbildung 673: T29 WS 00 01 Detailaufnahme bei 25-facher Vergrößerung im einfachen Durchlicht Lamina interna

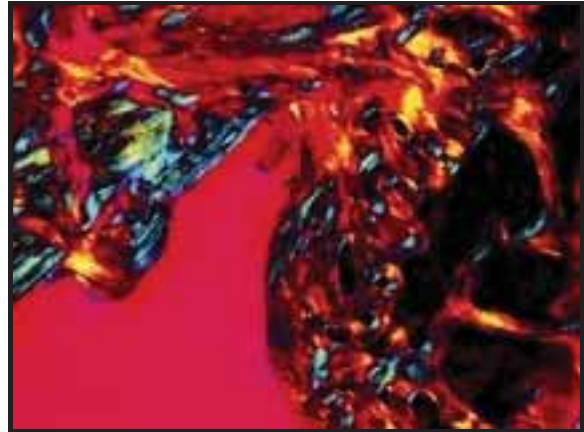


Abbildung 674: T29 WS 00 01 Detailaufnahme bei 25-facher Vergrößerung im polarisierten Durchlicht unter Verwendung eines Hilfsobjekts Rot 1. Ordng. (Quarz) als Kompensator: Lamina interna



Abbildung 675: T29 WS 00 01 Detailaufnahme bei 25-facher Vergrößerung im einfachen Durchlicht Lamina interna

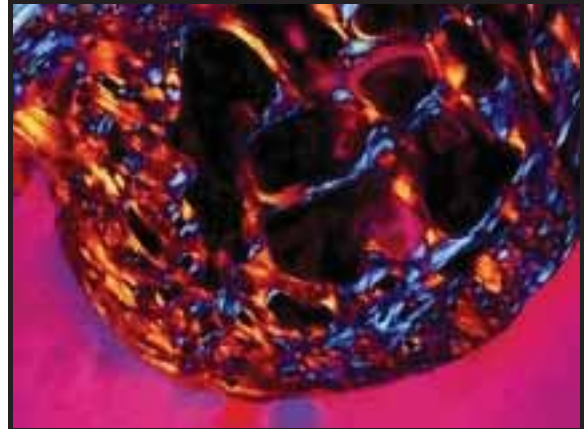


Abbildung 676: T29 WS 00 01 Detailaufnahme bei 25-facher Vergrößerung im polarisierten Durchlicht unter Verwendung eines Hilfsobjekts Rot 1. Ordng. (Quarz) als Kompensator: Lamina interna



Abbildung 677: T29 WS 00 01 Detailaufnahme bei 25-facher Vergrößerung im einfachen Durchlicht Diploë

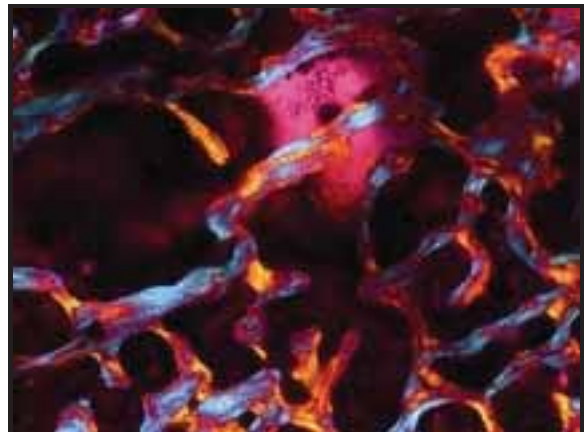


Abbildung 678: T29 WS 00 01 Detailaufnahme bei 25-facher Vergrößerung im polarisierten Durchlicht unter Verwendung eines Hilfsobjekts Rot 1. Ordng. (Quarz) als Kompensator: Diploë



Abbildung 679: T33 WS 00 01 Lamina interna
Individuum: weiblich, 78 Jahre



Abbildung 680: T33 WS 00 01 Nahaufnahme
Lamina interna



Abbildung 681: T33 WS 00 01 Stärke der
Hyperostosis linkes Os frontale



Abbildung 682: T35 WS 00 01 Lamina interna
Individuum: weiblich, 85 Jahre



Abbildung 683: T35 WS 00 01 Nahaufnahme
Lamina interna



Abbildung 684: T35 WS 00 01 Stärke der
Hyperostosis linkes Os frontale

Signatur:	Datum: 04.07.2005
Alter: Geschlecht:	Bemerkungen: T36 Pk 2000/01

Schädeldachmaße: Stärke: - frontal rechts: 17,3 mm links: 16.6 mm
 - occipital rechts: 6,2 mm links: 6,3 mm
 - Tuber frontale rechts: 16 mm links: 14 mm
 - Tuber parietale rechts: 11 mm links: 11 mm

Größte Stärke: im Bereich der Hyperostosis: 16 mm

Kleinste Stärke: im Bereich der Hyperostosis: 7 mm

Differenz: 9 mm

- Abstand zwischen Tubera frontalia: 52 mm
- Abstand zwischen Tubera parietalia: 83 mm

Lamina externa: - Foramina parietalia fehlen bds.

Lamina interna: - Os frontale und Ossa parietalia bds. des Sinus sagittalis superior: wulstartige, unregelmäßige Neubildungen, symmetrisch, Intensität: stark, Oberfläche feinsträhnig mit feinen Längsstreifen und mit einigen höckrigen Auflagerungen, Rand im Bereich des Sinus sagittalis unterschritten, im parietalen Bereich abgeflacht, Konsistenz fest, Größe: gesamtes Os frontale, 1/3 der Ossa parietalia
 → **HFP 1.6c mit Spuren einer meningealen Reizung**

Sinus sagittalis sup.: - im parietalen Bereich verfüllt und verstrichen, zentral mit zahlreichen bäumchenartig verzweigten Gefäßimpressionen

Schädelnähte: (nach Broca, 1875)

Schädelnähte	innen		außen	
	rechts	links	rechts	links
<u>Sutura coronalis:</u>				
C1	4	4	4	4
C2	4	4	4	4
C3	4	4	4	4
<u>Sutura sagittalis:</u>				
S1	4		4	
S2	4		4	
S3	4		4	
S4	4		4	
<u>Sutura lambdoidea:</u>				
L1	4	4	4	4
L2	4	4	4	4
L3	4	4	4	4
<u>Sutura metopica:</u>				



Abbildung 685: T36 WS 00 01 Lamina interna
Individuum: Alter und Geschlecht nicht bekannt



Abbildung 686: T36 WS 00 01 Nahaufnahme
Lamina interna



Abbildung 687: T36 WS 00 01 Stärke der
Hyperostosis linkes Os frontale



Abbildung 688: T2 WS 01 02 Lamina interna
Individuum: weiblich, 72 Jahre



Abbildung 689: T2 WS 01 02 Nahaufnahme Lamina interna



Abbildung 690: T2 WS 01 02 Stärke der Hyperostosis linkes Os frontale



Abbildung 691: T6 WS 01 02 Lamina interna
Individuum: weiblich, 96 Jahre



Abbildung 692: T6 WS 01 02 Nahaufnahme Lamina interna



Abbildung 693: T6 WS 01 02 Stärke der
Hyperostosis linkes Os frontale



Abbildung 694: T11 WS 01 02 Lamina interna,
Individuum: weiblich, 78 Jahre



Abbildung 695: T11 WS 01 02 Nahaufnahme
Lamina interna



Abbildung 696: T11 WS 01 02 Stärke der
Hyperostosis linkes Os frontale



Abbildung 697: T13 WS 01 02 Lamina interna
Individuum: männlich, 74 Jahre



Abbildung 698: T13 WS 01 02 Nahaufnahme
Lamina interna



Abbildung 699: T13 WS 01 02 Stärke der
Hyperostosis linkes Os frontale



Abbildung 700: T15 WS 01 02 Lamina interna
Individuum: weiblich, 87 Jahre



Abbildung 701: T15 WS 01 02 Nahaufnahme
Lamina interna



Abbildung 702: T15 WS 01 02 Stärke der
Hyperostosis linkes Os frontale



Abbildung 703: T16 WS 01 02 Lamina interna
Individuum: weiblich, 92 Jahre



Abbildung 704: T16 WS 01 02 Nahaufnahme
Lamina interna



Abbildung 705: T16 WS 01 02 Stärke der
Hyperostosis linkes Os frontale



Abbildung 706: T19 WS 01 02 Lamina interna
Individuum: weiblich, 92 Jahre



Abbildung 707: T19 WS 01 02 Nahaufnahme
Lamina interna



Abbildung 708: T19 WS 01 02 Stärke der
Hyperostosis linkes Os frontale

Signatur: 1509	Datum: 22.01.2004
Alter: 96 Geschlecht: männlich	Bemerkungen: T20 Pk 2001/02

Schädeldachmaße: Stärke: - frontal rechts: 5,3 mm links: 5,0 mm
- occipital rechts: 3,5mm links: 4,1 mm
- Tuber frontale rechts: 5 mm links: 5 mm
- Tuber parietale rechts: 5 mm links: 5 mm

Größte Stärke: im Bereich der Hyperostosis: 7 mm

Kleinste Stärke: im Bereich der Hyperostosis: 4 mm

Differenz: 3 mm

- Abstand zwischen Tubera frontalia: 65 mm
- Abstand zwischen Tubera parietalia: 77 mm

Lamina externa: - Foramen parietale dextrum im Abstand von 10 mm zur Sutura sagittalis vorhanden
- Foramen parietale sinistrum im Abstand von 7 mm zur Sutura sagittalis vorhanden
- Os parietale bds.: kreisförmige, höckerige, regelmäßige Neubildungen, Intensität schwach, Oberfläche glatt, Ränder verstrichen, Konsistenz fest, Größe: mohnkorngroß, zahlreiche, gruppenartig angeordnet, seitlich begrenzt durch die Linea temporalis
→ **V. a. Kopfschwartentzündung**

Lamina interna: - Os frontale bds. des Sinus sagittalis superior: wulstartige, unregelmäßige Neubildungen, symmetrisch, Intensität: schwach bis mittel, Oberfläche feinstreifig, Rand verstrichen, Konsistenz fest, Größe: 1/3 des Os frontale
→ **HFI 1.3**
- zahlreiche Foveolae granulares

Sinus sagittalis sup.: - frontal und vordere Hälfte des parietalen Bereichs verfüllt und verstrichen

Schädelnähte: (nach Broca, 1875)

Schädelnähte	innen		außen	
	rechts	links	rechts	links
<u>Sutura coronalis:</u>				
C1	4	4	4	4
C2	4	4	4	4
C3	4	4	4	4
<u>Sutura sagittalis:</u>				
S1	4		4	
S2	4		4	
S3	4		4	
S4	4		4	
<u>Sutura lambdoidea:</u>				
L1	4	4	4	4
L2	4	4	4	4
L3	4	4	4	4
<u>Sutura metopica:</u>				



Abbildung 709: T20 WS 01 02 Lamina interna
Individuum: männlich, 96 Jahre



Abbildung 710: T20 WS 01 02 Nahaufnahme
Lamina interna

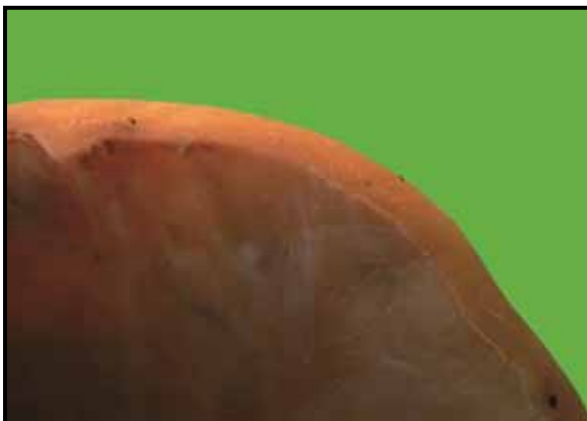


Abbildung 711: T20 WS 01 02 Stärke der
Hyperostosis linkes Os frontale



Abbildung 712: T25 WS 01 02 Lamina interna
Individuum: weiblich, 88 Jahre



Abbildung 713: T25 WS 01 02 Nahaufnahme
Lamina interna



Abbildung 714: T25 WS 01 02 Stärke der
Hyperostosis linkes Os frontale



Abbildung 715: T26 WS 01 02 Lamina interna
Individuum: weiblich, 79 Jahre



Abbildung 716: T26 WS 01 02 Nahaufnahme
Lamina interna



Abbildung 717: T26 WS 01 02 Stärke der
Hyperostosis linkes Os frontale

Signatur: 1520	Datum: 13.11.2003
Alter: 79 Geschlecht: männlich	Bemerkungen: T27 Pk 2001/02

Schädeldachmaße: Stärke: - frontal rechts: 12,4 mm links: 14,2 mm
- occipital rechts: 5,5 mm links: 6,1 mm
- Tuber frontale rechts: 10 mm links: 12 mm
- Tuber parietale rechts: 10 mm links: 10 mm

Größte Stärke: im Bereich der Hyperostosis: 13 mm

Kleinste Stärke: im Bereich der Hyperostosis: 4 mm

Differenz: 9 mm

- Abstand zwischen Tubera frontalia: 60 mm
- Abstand zwischen Tubera parietalia: 78 mm

Lamina externa:

- Foramen parietale dextrum im Abstand von 10 mm zur Sutura sagittalis vorhanden
- Foramen parietale sinistrum fehlt
- Os frontale: drei kreisförmige, höckerige, regelmäßige Neubildung, Intensität schwach, Oberfläche glatt, Rand verstrichen, Konsistenz fest, gruppenartig angeordnet, Ø je 3 mm

→ **drei Osteome**

Lamina interna:

- Os frontale und Ossa parietalia bds. des Sinus sagittalis superior: wulstartige, unregelmäßige Neubildungen, symmetrisch, Intensität: stark, Oberfläche grobsträhmig mit feinen Streifen, Rand im Bereich des Sinus sagittalis unterschritten, sonst verstrichen, Konsistenz fest, Größe: gesamtes Os frontale und 1/3 der Ossa parietalia

→ **HFP 1.6t**

- mehrere Foveolae granulares
- über die Norm verstärkte Foveolae granulares

Sinus sagittalis sup.:

Schädelnähte: (nach Broca, 1875)

Schädelnähte	innen		außen	
	rechts	links	rechts	links
<u>Sutura coronalis:</u>				
C1	4	4	4	4
C2	4	4	4	4
C3	4	4	4	4
<u>Sutura sagittalis:</u>				
S1	4		4	
S2	4		4	
S3	4		4	
S4	4		4	
<u>Sutura lambdoidea:</u>				
L1	4	4	4	4
L2	4	4	4	4
L3	4	4	4	4
<u>Sutura metopica:</u>				



Abbildung 718: T27 WS 01 02 Lamina interna
Individuum: männlich, 79 Jahre



Abbildung 719: T27 WS 01 02 Nahaufnahme
Lamina interna

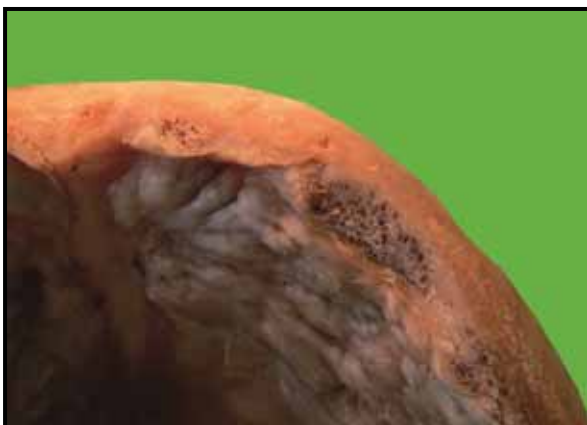
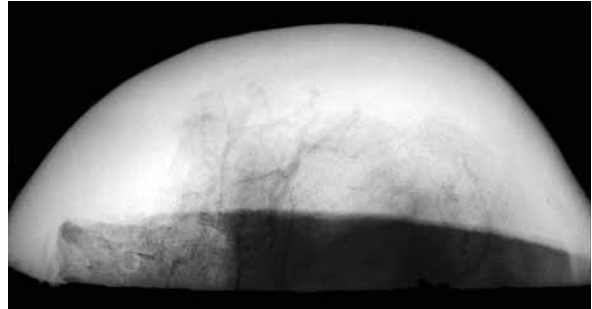
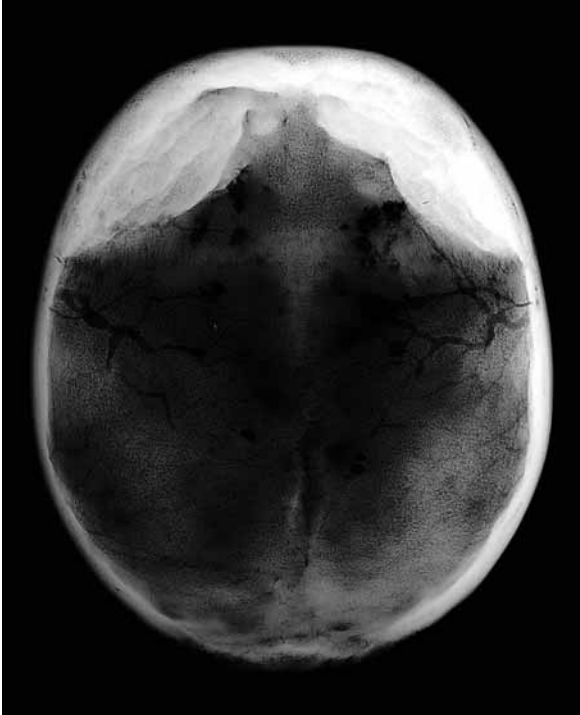


Abbildung 720: T27 WS 01 02 Stärke der
Hyperostosis linkes Os frontale



Abbildungung 721: T27 WS 01 02 axial, 52 kV, 6½ min **Abbildungung 722: T27 WS 01 02 lateral, 52 kV, 7½ min**



Abbildung 723: T29 WS 01 02 Lamina interna
Individuum: weiblich, 86 Jahre



Abbildung 724: T29 WS 01 02 Nahaufnahme
Lamina interna



Abbildung 725: T29 WS 01 02 Stärke der
Hyperostosis linkes Os frontale